

B36, 1384

320g. cut out.

Mr. R. J. Siffler

Fishall... big green frog.

1/1

Mr. H. C. H.

H330, 108

Frog with

un

g. e.

1/1

Mistress

A CH-0-245

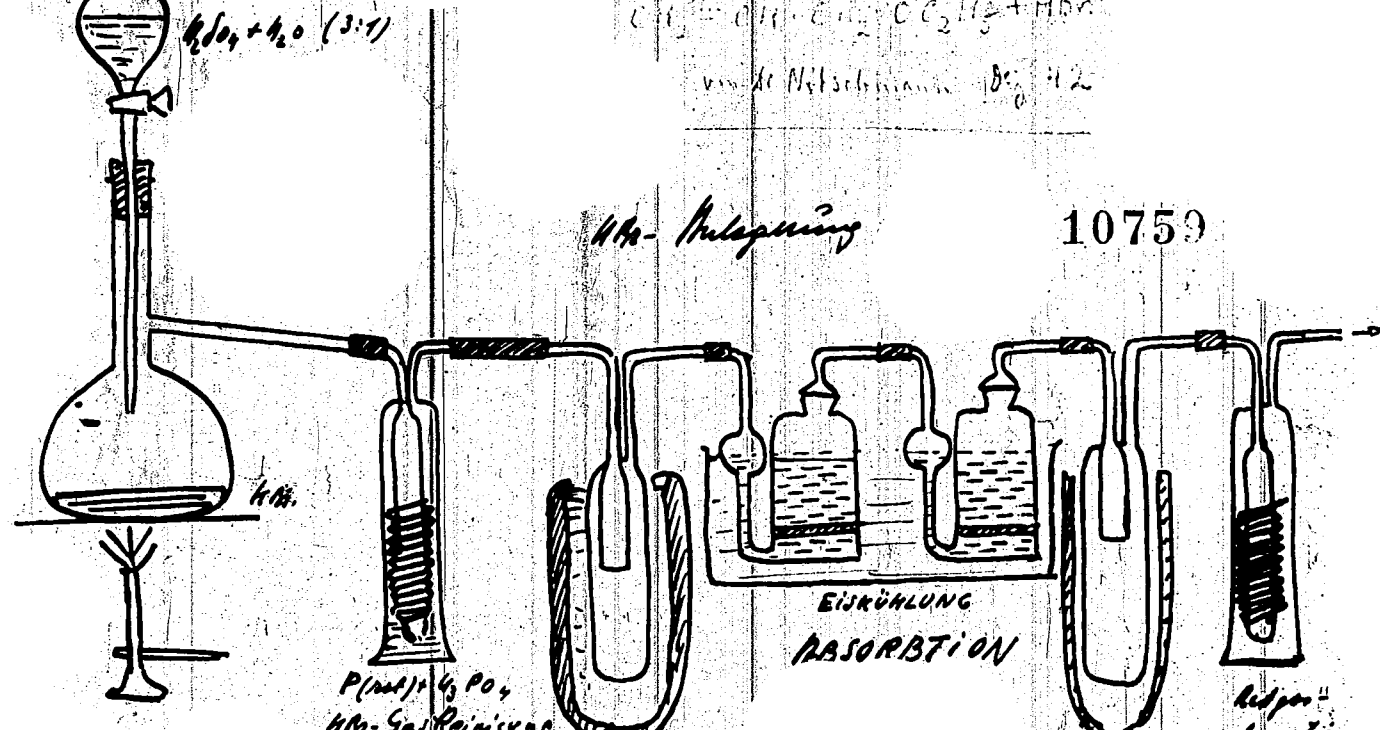
April 11-62

Sp

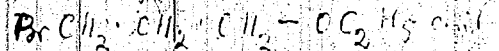
10758

*Apparatur*

$H_2SO_4 + H_2O \text{ (3:1)}$



- Versuchsziel: Darstellung von



von der Nettoreaktion:  $\Delta E = 112$

HBr - Abtrennung

10759

HBr-Sp. KÜHLUNG

HBr Sp.  
Smp.

68,7 °C

86,7 °C

HBr·3H<sub>2</sub>O

-48,6/-57

HBr·4H<sub>2</sub>O

-56

Reagenz  
abspalten

Es wurde nach dem Einlaufen von 4 m, das ausgesondert ist, gewartet, ob es  
durchsetzt würde, eine starke Kohlensäureentnahme (ca. 140%) in  
eine Siedestärke von 122% festgestellt; hierin war die Ausbildung  
von 4 M. jetzt bis zur Fertigung durchgeführt worden.

300 cm<sup>3</sup> Ritter (= 236,5 g) geben 524,6 g Wasser.

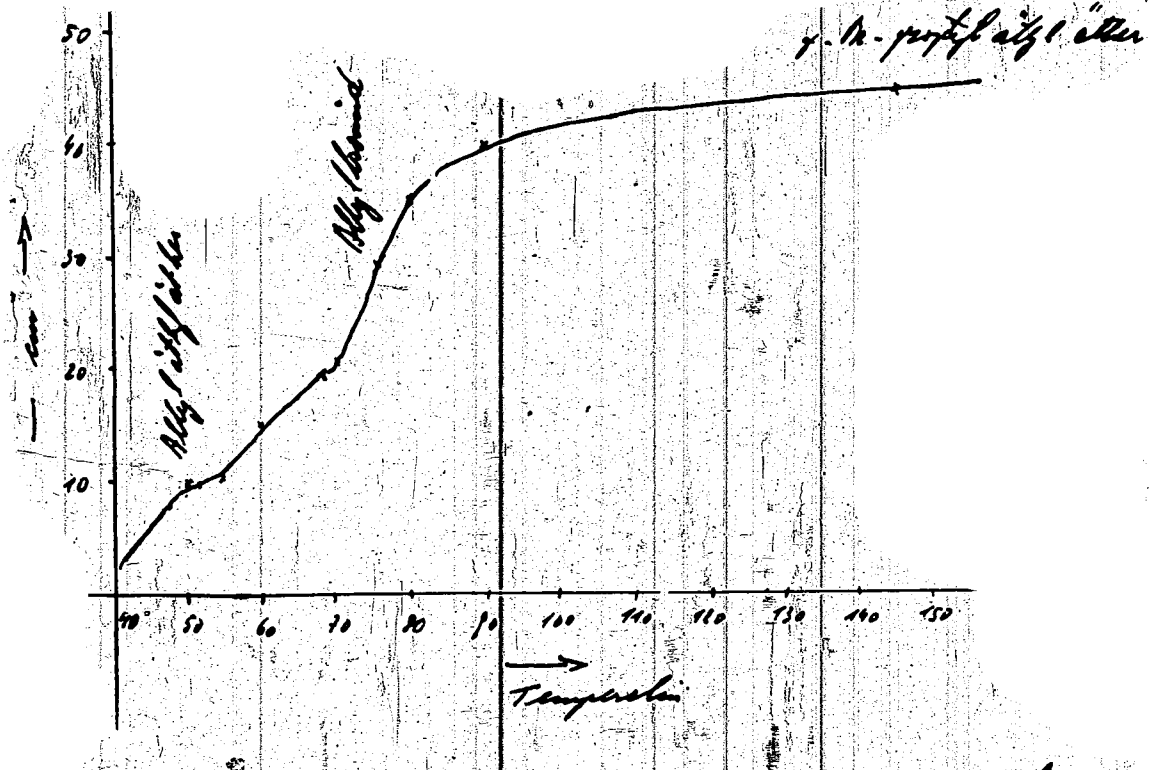
Die fast lose Ritter besteht auch nach der Ausbildung weiter gelblich.  
Nach leichtem Zerren unterliegt sie ebenfalls leicht, nicht aber der  
Schmelze. Sie obere Schicht von Wasserstoff gespeist.  
Hier unter (unvermeidlich prüfen) habe ich die hellbraunen Farbung  
Kohlen verbliebenen des Schmelzes eingefüllt. 1:1  
Untersuchung des Reaktionprodukttes:

a. Bei direkt geprägten Ritter Schmelze.

Er setzt sich zu 77% & in 10% Koksatz brennbar

Der ungelöste Teil von hell, schwach gelblich geprägte

wird hellorange beschleudigt;



1076.1

Es sind am reag. zu so darstellen g.-M.-paraffin oil.

gemessen.

6 Da keine Taf.

Diese Arbeit wurde von den g.-M.-paraffin oil, es ist

26

such sets fully run (50%) tends all steady to high.

## Les amours de Bony

Ein Auswirkung: Monosubstanz wird zu keiner Abrechnung, sondern qualifiziert im wesentlichen den Arzt an der infolge der Doppelabrechnung bestandenen O-Miete.

## Non-volcanic tuff aggradation

41 m wide (and broader) and 41 m s. w. by N. very well.

Bei  $4_2$  so, (cons, rein) wird mit  $4_2$  im Verhältnis 3:1 vermischt u. auf dies  
gekühlte u. allenfalls rotback erwärme  $4_2$  mittels einer Trocknungs-  
zange ab. Bei  $4_2$  war diese  $4_2$  ab und gelblich gefärbt u. wurde  
mit rotem P (in cons. Lsg.) verglichen) von dieser befreit.

1111. Siedepunkt - 69° C  
Schmelzpunkt - 89° C

10762

tit. - Bilden [Bildern]

Cu<sub>2</sub>Cl<sub>4</sub> · Cu<sub>2</sub> · Cu<sub>2</sub>Br<sub>2</sub> [I/110] ein blz-förmig i. pseudohex. 4Mn rekt. rot rötlich

Cu<sub>2</sub>Cl<sub>4</sub> · CuBr<sub>2</sub> · Cu<sub>2</sub>

schwach: blz-förmig riss. am Spuren brüllt bei einer Kühltemp. von 20-12°C und  
4Mn-Las gestoppt. bp 110-112°

und 1 Sch. Nc-Itg. der entsteh. blz-f. o. -chloroform - äther (Perkin B 27, 216)

Cu<sub>3</sub> · Cu<sub>2</sub> · Cu<sub>2</sub>Cl<sub>4</sub> bp 120° [I/109]

Cu<sub>2</sub> · Cu · Cu<sub>2</sub>Cl<sub>4</sub> [I/198]

4

10763

Patented Dec. 17, 1935

2,024,749

Op 58

# UNITED STATES PATENT OFFICE

2,024,749

D.R.P.

N.P. 423 520

## PREPARATION OF HALOGENATED ETHERS

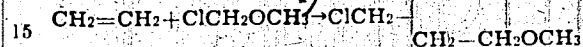
Norman D. Scott, Niagara Falls, N. Y., assignor to  
E. I. du Pont de Nemours & Company, Inc.,  
Wilmington, Del., a corporation of Delaware

No Drawing. Application August 4, 1932.  
Serial No. 627,539

19 Claims. (Cl. 260—151)

This invention relates to a process of reacting halogenated ethers with olefine hydrocarbons to produce halogenated ethers of higher molecular weight.

I have found that chloromethyl ether and other alpha halogenated ethers can be made to react with olefine hydrocarbons giving as a main product a gamma chlor ether formed by the addition of the halogen atom and the ether residue to the unsaturated linkage of the olefine hydrocarbon. Thus, from ethylene and chloromethyl ether I have obtained gamma chlorpropyl methyl ether as represented by the following equation:



Similarly, from propylene and chloromethyl ether I have obtained gamma chlorbutyl methyl ether.



In this case it will be noted that the chlorine atom adds on to the middle carbon atom of the propylene, in the "secondary" position, as might, perhaps, be predicted by analogy with the known manner of addition of hydrohalogens to propylene.

The addition of the methoxy methylene group to the other side of the olefine linkage results as shown above, in the formation of a normal butane derivative. This was shown experimentally by treating the chlorbutyl methyl ether with strong NaOH to split out HCl, resulting in the formation of  $CH_3-CH=CH-CH_2OCH_3$  which was then converted by catalytic hydrogenation with a platinum oxide catalyst into normal butyl methyl ether.

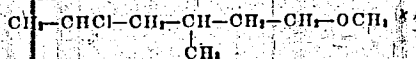
I have carried out analogous reactions using amylene as the olefine hydrocarbon. This reacts even more vigorously than propylene which in turn reacts more vigorously than ethylene. In addition to condensations involving monochloromethyl ether, I have carried out the similar condensation reactions using the following alpha-halogenated ethers: symmetric dichlorodimethyl ether, monobromomethyl ether, alpha chlorethyl ether, and monochloromethyl isopropyl ether.

The best conditions and methods for carrying out the reactions will of course vary with the particular olefine hydrocarbon and alpha halogenated ether. In general the use of a catalyst has been found advisable though not necessary in some cases. I have found that moderately easily hydrolyzable metal halides, soluble in the halogenated ether-olefine reaction mixture, such as,

$BiCl_3$ ,  $BiBr_3$ ,  $SbCl_5$ ,  $ZnCl_2$ ,  $FeCl_3$ ,  $AlCl_3$ , form satisfactory catalysts. The optimum combination of temperature, pressure, catalyst concentration and duration of reaction will obviously vary with particular combination of materials employed. The following examples are given by way of further illustration of methods of carrying out these reactions:

### Example 1

1000 cc. of monochloromethyl ether containing in solution 50 gms. of  $BiCl_3$  was placed in a steel bomb, mounted on a shaker and connected to a cylinder of propylene. Propylene was readily absorbed as admitted and the mixture warmed up due to the heat of reaction. By a combination of external cooling, and controlled rate of admitting the propylene, the temperature was kept from exceeding 70° C. and averaged about 50° C. during the period of saturation which was one and one-half hours. The final pressure in the bomb was 150 lbs. The bomb was cooled in ice water, the excess propylene vented, and the liquid poured out. This crude product measured 1490 cc. and weighed 1676 gms. After washing with water, drying and distilling, a fraction was collected at 121–131° C. weighing 938 gms. which was very largely chlorbutyl methyl ether. A total of 353 cc. of higher boiling material was largely a chlorheptyl methyl ether, boiling point about 205° C. The molecular weight and composition of this substance indicate that it is derived from the reaction of two molecules of propylene with one molecule of chloromethyl ether. It most probable formula appears to be

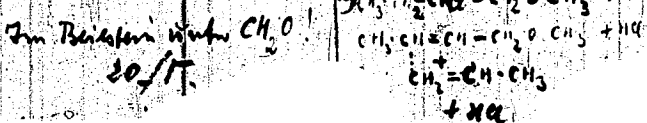


Analogous high boiling by-products were also obtained from ethylene and chloromethyl ether. Accordingly the compound would be a chloramyl methyl ether.

The reaction has been studied with alpha-halogenated ethers as the original raw material. The formation of epsilon chlor ethers along with gamma chlor ethers, is believed to represent a successive condensation of a second molecule of olefine with the gamma chlor ether.

### Example 2

A solution of 10 gms.  $ZnCl_2$  in 200 cc. chloromethyl ether was treated with 10 cc. portions of amylene until a total of 250 cc. had been added during a period of about 1 hour. The flask was shaken after each addition and the temperature



scribbled A 330, 114 107  
Typing and drawing

Im Reaktion mit  $CH_3O$

20/11

+ Na

was kept below 30° C. by occasionally immersing in ice water. When the reaction had ceased the mixture was thoroughly washed with water at 50° C. 250 cc. of oily material was obtained. The material was distilled, yielding 200 cc. of an oil which boiled, with some decomposition, at about 150° C. Rapid redistillation under reduced pressure at 80° C. gave a relatively pure product which was identified as monochloroxyl methyl ether.

*Example 3.*

200 cc. of chlor methyl ether and 150 cc. of amylene were mixed together and allowed to stand over night at room temperature. After washing with hot water 50 cc. of an oil remained. This oil was dried with  $\text{CaCl}_2$  and distilled; the main fraction of about 30 cc. distilling at 150° C. with some decomposition. Rapid redistillation under vacuum at 80° C. gave a relatively pure product which was identified as chloroxyl methyl ether.

*Example 4.*

500 cc. of chloroethyl ether, containing 25 gms. of  $\text{BiCl}_3$  in solution was placed in a steel bomb mounted on a bunsen, and connected to a cylinder of compressed ethylene. The reaction mixture was heated to 80° C. and maintained at 80° C. at 700-800 lbs. pressure for 2 hours. The excess gas was vented after cooling the bomb, and the liquid products poured out. On fractionation 191 grams of a material boiling at 100-115° C. was obtained; this was very likely gamma chlor propyl methyl ether.

*Example 5.*

A solution of 5 gms.  $\text{ZnCl}_2$  in 100 cc. of somewhat impure dichlorodimethyl ether was shaken with propylene at atmospheric pressure, at about room temperature, until there was no further absorption of gas.

The crude product containing dichlor-dibutyl ether was then washed with water and diluted  $\text{NaOH}$  until substantially neutral. After drying with  $\text{CaCl}_2$  this was distilled under vacuum. 23 cc. were collected boiling mainly at 130-135° C. at 10 mm. Hg pressure. Determination of chlorine in this material showed it to contain 32.5% as compared with 35.5% in dichlorodibutyl ether.

The term "alpha halogenated ether" as used in the specification and claims refers to halogens on a carbon atom next to the ether oxygen atom.

I claim:

1. Method for the production of halogenated aliphatic higher ethers which comprises reacting an alpha halogenated aliphatic ether with an organic compound containing an olefinic linkage between two carbon atoms.
2. Method for the production of halogenated aliphatic higher ethers which comprises reacting an alpha halogenated aliphatic ether with an olefine hydrocarbon.
3. Method for the production of chlorinated aliphatic higher ethers which comprises reacting an alpha chlorinated aliphatic ether with an organic compound containing an olefinic linkage between two carbon atoms.

4. Method for the production of chlorinated aliphatic higher ethers which comprises reacting an alpha chlorinated aliphatic ether with an olefine hydrocarbon.

5. Process which comprises reacting an alpha halogenated aliphatic ether with an organic compound having an olefine hydrocarbon group.

6. Process which comprises reacting an alpha halogenated ether with an olefine hydrocarbon.

7. Process which comprises reacting an alpha chlorinated ether with an olefine hydrocarbon.

8. Process which comprises reacting mono-chloromethyl methyl ether with an organic compound containing an olefinic linkage between two carbon atoms.

9. Process which comprises reacting symmetric dimethyl ether with an organic compound containing an olefinic linkage between two carbon atoms.

10. Process which comprises reacting mono-chloromethyl methyl ether with an olefine hydrocarbon.

11. Process which comprises reacting symmetrical dimethyl ether with an olefine hydrocarbon.

12. Method for the production of halogenated aliphatic higher ethers which comprises reacting an alpha halogenated aliphatic ether with an organic compound containing an olefinic linkage between two carbon atoms in the presence of a soluble, easily hydrolyzable metal halide soluble in the reaction mixture.

13. Method for the production of halogenated aliphatic higher ethers which comprises reacting an alpha halogenated aliphatic ether with an organic compound containing an olefinic linkage between two carbon atoms in the presence of a mod-

erately soluble metal halide soluble in the reaction mixture.

14. Method for the production of halogenated aliphatic higher ethers which comprises reacting an alpha halogenated aliphatic ether with an organic compound containing an olefinic link-

age between two carbon atoms in the presence of a much halide.

15. Method for the production of halogenated aliphatic higher ethers which comprises reacting an alpha halogenated aliphatic ether with an olefine hydrocarbon in the presence of a bismuth halide.

16. Method for the production of halogenated aliphatic higher ethers which comprises reacting an alpha halogenated aliphatic ether with an olefine hydrocarbon in the presence of bismuth chloride.

17. Method for the production of halogenated aliphatic higher ethers which comprises reacting an alpha halogenated aliphatic ether with an olefine hydrocarbon in the presence of zinc chloride.

18. Method for the production of halogenated aliphatic higher ethers which comprises reacting an alpha halogenated aliphatic ether with an olefine hydrocarbon in the presence of tin chloride.

19. As a new product, gamma chlor primary butyl methyl ether.

NORMAN D. SCOTT



$\text{CH}_2\text{O} \cdot \text{C} = \text{C}^{\text{H}}_3$	$\text{CH}_2\text{O} \cdot \text{C}^{\text{H}}_2 \cdot \text{C} = \text{C}^{\text{H}}_3$	$\text{CH}_3\text{O} - \text{CH}_2\text{C}^{\text{H}}_2 \cdot \text{C} = \text{C}^{\text{H}}_3$	$(\text{CH}_3)_2\text{C} = \text{C}^{\text{H}}_2$	$(\text{CH}_3)_2\text{C} \cdot \text{CH} \cdot \text{CH}_2 \cdot \text{C} = \text{C}^{\text{H}}_3$	$\text{CH}_3\text{O} \cdot \text{CH}_2\text{C}^{\text{H}}_2 - \text{C} \cdot (\text{CH}_3)_2$	$(\text{CH}_3)_2\text{C} \cdot \text{C} = \text{C}^{\text{H}}_2$
$60$	$87-91/160-170$	$81/120$	$136/160$	$0,9455$	$0,866\%$	$0,8984$
	$50/160$	$53$				$-0,50/0,67^{-1}$

Youngs 4525, 174

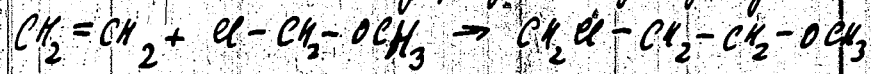
A 330, 1.14 g.  $\text{Fe}_2\text{O}_3 \cdot \text{Cu}_3$  B 36, 1.5 g. B 47, 1.3 g. Beistein nach  $\text{CH}_2\text{O}$ !

Am. for 50/427 (1928)

Engl. Patent 423 520 Aug 4. 32 U.S.A.

In Port de Nemours and Co., Wilmington (Delaware)

Wir fanden, daß Chloroethyläther in ander  $\alpha$ -Galogen-Äthern  
mit alifatischen Olefinen in Reaktion gebracht werden können.  
Bei Benzozwinkt aufstoffs am  $\beta$ -Galogenäther durch Addition  
des Galogens und des Äther-Ketens an die ungesättigte Bindung des  
Oleins. Es werden wir mit Propylan und Methyl-difluoromethyläther  
den  $\beta$ -Chlorpropyläther nach folgender Gleichung:



Obwohl wir mit Propylan und Chloroethyläther den  
 $\beta$ -Chlorbutyl-methyläther  $CH_3-CH_2Cl-CH_2-CH_2-OC_2H_5$

In diesem Fall ist zu bemerken, daß jedes Cl-atom an der  
mittleren C-Atome des Propylans antest, und vielleicht auf die Reaktion  
Analogie der Galogen-addition vorzuhaben ist.

Die Bildung einer normalen Ethen-Abspaltung infolge Addition  
an die andere Seite der Olefin-Bindung liegt sich beweisen durch  
Behandlung des difluoromethyläthers mit flüssigem NaOH, die  
zur Abspaltung von HF und zur Bildung von  $CH_3-C^F=CH-CH_2-OC_2H_5$   
führt, das durch Hydrolyse mit Wasser-oxyl als Aldehyd vor  
zum normalen Butyl-Methyläther verwandelt werden konnte.

Wir fanden die gleiche Reaktion mit Propylan ausgeführt  
die erwartet war bei allen aliphatischen propenoiden  
olefinen als Äther vorzufinden. Es gab keine Reaktion  
mit folgenden  $\alpha$ -Galogen-Äthern ausgeführt: pyridin-Difluoromethyl-  
äther,  $\alpha$ -Difluorophenyläther und Chloroethyl-isopropyläther.

Möglichkeit in Bedingungen für die Dämpfung der Reaktion.

ruppen auf auf der Fingertippe des Blasins. Galogenalipid: Ein allgemeiner  
 ist die Gruppe eines Katalysators nötig wenn es in einem Fall nicht mit  
 reagiert. Wir fanden, dass leichter hydrolysierte Metallsalze, die in  
 den galogen-aliphatischen Reaktionen nichts lösen sind z.B.  $\text{BiCl}_3$ ,  $\text{BiBr}_3$ ,  $\text{SbCl}_5$ ,  
 $\text{PbCl}_4$ ,  $\text{ZnCl}_2$ ,  $\text{FeCl}_3$ ,  $\text{AlCl}_3$  gute Katalysatoren sind. Die letzten Beobachtungen  
 von Tengstroem - Orvall, Katalysator-Konzentration wechselt mit der Reaktion  
 auf der Basis: die Ergebnisse sind die folgenden Ergebnisse ausführlich  
 genauer, befreit von aber nicht auf sie.

### Ergebnis 1.

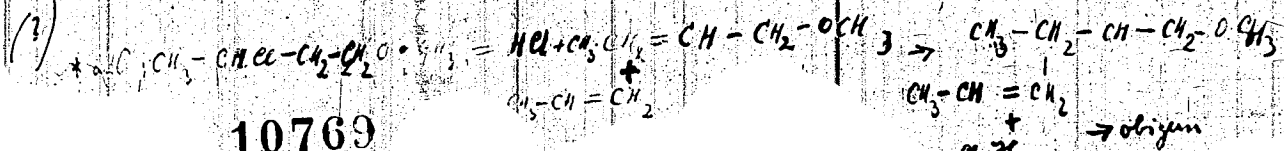
1000 cm<sup>3</sup> chloroform-Alkohol 50%  $\text{BiCl}_3$  gelöst enthalten, werden in einer  
 Gasflasche auf zwei Reaktionsapparate mit einer Propylenglycol-Flasche  
 verbracht. Der Propylenglycol-Luft absorbiert und die Menge variiert  
 je nachdem. Man füllt die Temperatur auf 50° (primärlich über 70°) und findet die  
 Füllung, die 2 Stunden dauert. Das Füllmaß in der Flasche  
 war 750 ml (ca. 22 atm). Die Flasche wird mit einem stopfen abgeschlossen, die Propylenglycol-  
 Alkohol-Mischung verschlossen und im Dampftrockenkasten aufbewahrt (die Temperatur war  
 16.76 g = 1490 cm<sup>3</sup>. Nach 10 Minuten mit Wasser abkühlen und destillieren auf 938 g  
 eine Brühe 121-131° erhaltenen durchgehend chloroformchloroform. Ein  
 weiterer Verdampfungstraktor von 358 cm<sup>3</sup> war eine Menge chloroform-chloroform ~ 20%  
 auf dem Brühepunkt 20.5°, unverändert aufgetragen. Durch  
 $\text{CH}_3-\text{CH}_2-\text{CH}-\text{CH}_2-\text{OCH}_3$  OCH<sub>3</sub> OCH<sub>3</sub> OCH<sub>3</sub>  
 Einheit, bestehend aus Chloroform

Durchsetzen mit einem Alkohol mit Chloroform erhaltene

Am Reaktionsraum wurde mit Galogenalipid alle Angriffsstellen geprägt.

Bei Behandlung mit E-Galogenalipid unter Chloroform füllten wir für  
 eine Konzentration eines grünen Mols Blasins um den f. offensichtlich

(1)



### Expt 2

eine Lösung von 10g ZnO<sub>2</sub> in 200cm<sup>3</sup> Chlormethyläther wird in Portionsweise 10,1m<sup>3</sup> bis zu ca. 250cm<sup>3</sup> Propylen in einer Röhre zugesetzt. Das Reaktionsgefäß wird dabei aufgeheizt u. die Temperatur darf nicht höher als 30°C werden. Nach Ablauf der Reaktion wird gründlich mit Wasser gewaschen bei 50°C. Man erhält 250cm<sup>3</sup> Öl. Wenn destilliert wird resultiert 200cm<sup>3</sup> reine Fraktion, die bei 150°C siedet. Viermal Redestillation bei normalerstem Druck gibt eine gründlich reine Chlormethyl-methylether.

### Expt 3

200cm<sup>3</sup> Chlormethyläther + 150cm<sup>3</sup> Propylen werden über Platte bei Raumtemperatur mit einem Kugelbrenner abdestilliert. Nur was auf dem mit 1/3 Wasser gefüllten Teil des Kugelbrenners abdestilliert wird und nicht in das Öl. Das Öl wird mit CaO<sub>2</sub> getrocknet u. gibt eine Fraktion von 30cm<sup>3</sup>/150°C, die bei 80°C im Wasserdampfdestillat 20cm<sup>3</sup> rein erhalten gab.

### Expt 4

500cm<sup>3</sup> "Chlormethyläther" werden mit 25g BiO<sub>3</sub> in einer Nagelbombe mit Cl<sub>2</sub>-Säulen bei 80°C gesammelt, abgekühlt u. 7 Minuten bei 700-800# (100Atm) zersetzt. Als flüssiges Rückstand werden dann Fraktionen von 191g Sp. 109-115 erhalten + Chlorpropyl-Methylether.

### Expt 5

5g ZnO<sub>2</sub> in einem kleinen Wundzylinder (100cm<sup>3</sup>) werden bei Raumtemperatur mit Propylen bis zum Anfang der Reaktion aufgeheizt. Das Reaktionsgefäß ist bis zur Reaktion mit Wasser in einem Wasserbad eingetaucht. Bei 135°C wird mit CaO<sub>2</sub> getrocknet. 23cm<sup>3</sup> der Fraktion 135°C/10mmHg mit 32,5% Chlor (Smp. 35,6) im Dichloro-diethyläther werden zersetzt.  $\text{ClCH}_2 - \text{CH}_2 - \text{CH}_2$   
 $\alpha\text{-CH}_2 - \text{CH}_2 - \text{CH}_2$   
 $\text{CH}_3$

10770

S.S.W.: folgt Anpräg

Strauß, Th. C.

J. 25 / 163

Ergebnisse von Akryl-alkylchloraten

Zur Den Untersuchung mit den unterschiedlichen Gruppen Reaktionen: Acrylate  
Acrylates mit schwer pflichtbarem Glas am Ende der heissen Gruppentemp.  
Reaktionstemperatur  $50-60^{\circ}\text{C}$ , in zu einem Aufschwung von  $0,8\text{ m}$  Höhe umge-  
zogen waren. Die singulären Hochpolymeren fallen bei aufsteigender Temperatur  
auf ein Minimum und, so daß ein Gruppentemp. für wichtig. ( $\partial C_4 H_8 = 0,67$ )  
die reinen Lösungen unterscheiden sich wieder im Hochkampf.  
gleicht in grünem in einer Menge für unendifferent, nur da in die mit  
Katalysator und dem zu untersuchenden Alkohol befeuchtet, in  $\text{CO}_2$ -Alkohol (Toluol)  
unterschiedliche Reaktionsgeschwindigkeit der monomeren  
Alkohole verlangt passende Anpassung von Einheitlichkeit. Die unverwandten  
Reaktionen müssen dann 2 Minuten in Pfiffen statt, so daß die Konsistenz der  
Hälfte ist erledigt, darf unverändert verbleiben, somit unverändert, und  
bleiben über die offizielle Reaktionsszeit bei Zimmerungskontrolle stehen.  
Bispekte mit bei Zimmerungskontrolle flüssigen K.W. müssen gründlich  
der unten beschriebene Normalablauf-Apparatur unter gründ-  
licher Reinigung geworfen, bei Reaktionstemperatur unter  $\text{CO}_2$ .  
Zur Reaktion bringen wir die Ansätze, somit größtmögliche K.W.  
einbringen müssen, grünem in Kältereifung am, und befeuchten sie auf  
grünen einer Lösung, oben sorgfältig gruppentemperatur Kapillare -  
nach der singulären Menge, die von polyacrylaten Abständen bestimmt - von  
einem gruppentemperatur K.W. dem Mengen nach befeuchtet werden kann,  
in einer  $25-30^{\circ}$  monomeren Länge. Bei weiterer Erfahrung der Reaktion  
erfolgt dann, gleich wie die darüberigen Ansätze mit gruppentemperatur K.W.

mit großer Wärme A gebundenen nun nimmt in O<sub>2</sub>-rich. Atmosphäre auf, zerfällt der Katalysator durch Wasserstoffwasser (Reagenz NaOH-Lsg. bei Erwärmung um HgCl<sub>2</sub>), er bildet Aldehyde mit NaHSO<sub>3</sub> in üblicher Weise und dann folgende Behandlung mit einem starken mineralischen Alkali (1%), Kochen u. Distillation des aus Lösungsmittel befreiten Umsetzungsergebnisses unter verringertem Druck.

B Orte muss gezeigt werden, wenn die Erwärmung von Lösungsmitteln passiert, wenn z. B. für die Erhitzung, mögliche Produkte kontrolliert werden, wenn Katalysator abdestilliert. Da leichter flüchtige Anteile der Ausfällen bei weitaus niedrigeren Gefahrenwerten von dem gelösten Teil des Katalysators in praktisch geringen Mengen entstehen. Nur gegen Ende der Reaktion, da es in einem Bereich um 200° nicht mehr verringern, müssen in diesen Fällen nur A befindet da α-Aldehyd-Alkylchloride mit Wasserstoff hydrolysiert so dass die Limitierung der Menge A möglich, den Anteil des nicht in Reaktion gekommen Chlorids ist. Damit der Umfang des Umsetzungskatalysators bestimmt die in die Wasseroberfläche übertragenen HCl zu bestimmen muss das Zalogen in der gebildeten Ammoniumverbindung ermittelt werden.

Reg. N. 493, 191 m. 498/101

Mit gleichem wird ein großer Mengen  $\text{HgCl}_2$  über hängt.

Aufzehrung von  $\text{HgCl}_2$  an den  $\text{HgCl}_2$ -haltigen

$\text{Cu}_2 : \text{Cu} \cdot \text{Cu}_2 \cdot \text{O} \cdot \text{C}_2 \text{H}_5$

+  $\text{HgCl}_2$

ELLOT  $\text{M} \cdot \text{Cu}_2 \cdot \text{Cu}_2 \cdot \text{O} \cdot \text{C}_2 \text{H}_5$

Anreicherungsmaße:

65,3 cm<sup>3</sup> (= 50 g Masse) addieren 47 g  $\text{HgCl}_2$  [= 97%ige Anreicherung]  
(wegen 69 g  $\text{HgCl}_2$  + 49 g wasser. Menge:  
 $\text{H}_2\text{O}_2 = 4_2 \cdot 0$  (3:1) an überdeckt)

In einem kleinen Vorversuch wird festgestellt, dass  $\text{HgCl}_2$  in der Kette (0°) gleich addiert wird.  
Die Absorption reicht nicht aus, um sie (0°-Baugang!) zu verfolgen zu können. Es wird ein deutlicher Sprung in  
richtung festgestellt. 59,7% Anreicherung. (Klar ist aber die  
Absorption dort nicht hinreichend.)

$\text{Cu}_2$   $\text{Cu} : \text{Cu} \cdot \text{Cu}_2 \cdot \text{O} \cdot \text{C}_2 \text{H}_5$  Bild. I 430(336)

$\text{Cu}_2 \text{H}_2 \cdot \text{Cu}_2 \cdot \text{Cu}_2 \cdot \text{O} \cdot \text{C}_2 \text{H}_5$  Bild. I 353 + I 581.

$\text{Cu}_2 (0_2) \cdot \text{Cu}_2 \cdot \text{Cu}_2 \cdot \text{O} \cdot \text{C}_2 \text{H}_5$  " I 476 (247)

$\text{Cu}_2 \text{H}_2 \text{O} \cdot \text{Cu}_2 \cdot \text{Cu}_2 \cdot \text{O} \cdot \text{C}_2 \text{H}_5$  " I 353

Mg-lakkosit

76,5%

163 mm<sup>3</sup>

153 g (Lignin, papp)

eingedrungen

Voller

80,0%

225 mm<sup>3</sup>

172 g

21-

Taf. 1/2 werden pum 113,0 g Viles Masse, die ursprünglich eine 65,7%ige Harzanteil  
hatten gefunden

ca: ca: ca: ca: 140,0. C, 45 → ~~ca: ca: ca: ca: C, 45.~~

Zur der bestehenden Tafel kann über den in keine wurde das  
eingedrungen Mg-L. gefunden in Lignin auf. (in ein sehr geringem Maß)

Thord. No 4 - May  
geth.

$$\frac{117,1}{104,4} = \frac{117,1}{12,6} = 89,3\%$$

Bei einem größeren Volumen, bei dem 489 cm<sup>3</sup> Mg-lakkosit (= 95 g) und  
138 g Mg (in 2400 cm<sup>3</sup> ob. Holz) eingedrungen werden  
findet man hier, fast von 75% leichter

10774

20/11

1-3 Protoplasma-Lit.

Nach der sehr geringen Häufigkeit und einem gewissem, auf den Weg über die M-Varietät lassendem Reizreiz zu stellen.  
Gefüllte des Körpers sind stark

1) Daten

Mytilus Mytilyllatia

1.P.	95°	61°
lutea	0,938	0,765
lept.	76,5	16
total	9,5 (3)	112

10775

163 cm Mytilus : 100 cm abw. Meile + (169 m. das abw. Meile)

Das Mytilus sind am Rand des kleinen Mytilus

reiche Steinigen Ritter wird der Mytilus Protoplasmata zum Mytilus  
zugefügt; habe nicht Leistung, die nicht mehr als im kleinen  
Meile. Es ist keine der Ritter mit Protoplasmata zum Mytilus  
geringste Anzahl am Rand des kleinen Mytilus nicht groß.  
Das Protoplasmata wird einer vollkommenen Ossifikation nicht wachsen.

Windbelüftung einer möglichst vollständigen  
Luft zu erhalten.

So gab uns mit Nr. 200. eine gesuchte Ventilierung einer nach 2<sup>o</sup> einer  
19,2%ige Rückbildung, die durch längeres Kochen (24<sup>o</sup>) auf 51,6% erhöht  
wurde. Kon-Tinning führte nach 6<sup>o</sup> nur 57,3% zu Ventilierung, also  
nach 24<sup>o</sup> einem Kochen auf 83,6% erhöht wurde.

Hab. füllt die beste Ventilierung, Nr. 200. bis sonst gewünschte Bedingungen  
verhältnis vollkommen, da Co<sub>3</sub> die vollkommen.

Zu gleich gebliebenen Bedingungen verhältnis nach den Rückbildung  
 $\left\{ \begin{array}{l} \text{Co}_3, \text{ Na}_2, \text{ kon.} \\ 1 : 2,2 : 3,6 \end{array} \right\}$

Die Rückbildung von Alkalihydroxiden, die physikalisch unverändert waren  
hatte große ordnungsveränderungen machen Nr.-zettel i. kon.

10776

10777	5.) vermutlich durch zu hohe Konz. durch Verdunstung und nicht abgefiltert.	100 cm <sup>3</sup> Filter wnde mit 40 cm <sup>3</sup> Na <sub>2</sub> CO <sub>3</sub> (4,0 10%). Gelingt versch. 25 cm <sup>3</sup> am Ried fischhaber erhalten 1 Liter unter Vetus hängt als Kataly.	
		100 cm <sup>3</sup> brachte — cm <sup>3</sup> 4CaS (z=0,093) durchsetzt: 2,5. 10. — 0,099 = cm <sup>3</sup> 4CaS (z=0,1) Sesam versch. dies entspricht einer Verdunstung von — 2 ( $\frac{100}{63,9}$ )	
	6.) 100 cm <sup>3</sup> Filter wnde mit 60 cm <sup>3</sup> Ldt. 4,0 z: 5 g CaCO <sub>3</sub> (p.a.) röhrt und wird langsam unter Vetus hängt als Kataly satzt. 25 cm <sup>3</sup> am Ried fischhaber erhalten Vetus und der Filtration:	25 cm <sup>3</sup> Mg 40,0 (z=0,0) ; aufgefüllt auf 100 cm <sup>3</sup> 100 cm <sup>3</sup> brachte — cm <sup>3</sup> 4CaS (z=0,093)	
	10777	25 20,2 — 4,8	100 cm <sup>3</sup> — 1,0. 10. 10,1 0,099 = 80,2 cm <sup>3</sup> 4CaS (z=0,1) dies entspricht einer Verdunstung von $\frac{7,5}{(100)} \cdot \frac{100}{63,9}$

3.  $1\text{cm}^3$  Böden wurde und  $40\text{ cm}^3$  Kons. (wirrig,  $\eta = 0,5$ ) 25° an Rindfleischkelle verarbeitet.  
1 Liter braucht Nahrungsflüssigkeit als Konsatz weiter.

Trocken und d. Füllstoffs: 25  $\text{cm}^3$  kg 40,3 ( $\alpha = 0,1$ ), auf 500  $\text{cm}^3$ .

$100\text{ cm}^3$  verbraucht an  $2,95\text{ cm}^3$  KCWS. (Mittel aus 2 Versuchen)

demnach:  $6,5 \cdot 10 \cdot 2,95 \cdot 9,099 = 7,36\text{ cm}^3$  KCWS ( $\alpha = 0,1$ )

$\frac{6,5}{7,36}$  dies entspricht der Verarbeitung von  $27,6\%$  ( $\frac{100 \cdot 7,36}{6,5}$ )

bezogen auf die ganze Substanz  $83,6\%$  ( $\frac{100}{32}$ )

4.  $1\text{cm}^3$  Böden wurde und  $60\text{ cm}^3$  Konsatz. 6,8 cm<sup>3</sup> KCWS (10%, wirrig) verarbeitet, 25° an Rindfleischkelle verarbeitet.  
1 Liter braucht Nahrungsflüssigkeit als Konsatz weiter.

10778

Trocken und d. Füllstoffs: 25  $\text{cm}^3$  kg 40,3 ( $\alpha = 0,1$ ), auf 500  $\text{cm}^3$

$10,0\text{ cm}^3$  verbraucht  $5,8\text{ cm}^3$  KCWS (Mittel aus 2 Versuchen)

demnach:  $6,5 \cdot 10 \cdot 5,8 \cdot 9,099 = 14,5\text{ cm}^3$  KCWS ( $\alpha = 0,1$ )

$\frac{6,5}{14,5}$  dies entspricht der Verarbeitung von  $16,9\%$  ( $\frac{100 \cdot 14,5}{6,5}$ )  
bezogen auf die ganze Substanz  $57,4\%$  ( $\frac{100}{32}$ )

16.

da nicht reicht Klar. in  $\text{kg} \cdot \text{m}^{-2}$  nicht für jede Teil in das Kugeln werden abgeschnitten, bzw. abfiltriert. in die Lösung und  $\text{HNO}_3$  (20%) versetzt.

gemischt mit  $10 \text{ cm}^3 \text{ AgNO}_3$  ( $\approx 0.01\%$ )

und Abfiltration des Zg G wird die Rautlösung auf  $250 \text{ cm}^3$  aufgefüllt  
mit  $\text{KClO}_3$  zind schwarz (ungefähr 114,5 g (10%), als Zusatzdosis) Richard Volhard)

$100 \text{ cm}^3$  brauchen  $3,35 \text{ cm}^3 \text{ KClO}_3$  ( $\approx 0,099$ ). (durch ein 2. Filter)

dann noch:  $2,5 \cdot 10 \cdot 3,35 \cdot 0,099 = 8,3 \text{ cm}^3 \text{ KClO}_3$  ( $\approx 0,1$ )

10779

$$\frac{8,3}{11,7} \text{ AgNO}_3 (\approx 0,01\%)$$

benutzt verbraucht

die entspricht einer  $\frac{18,3}{63,9} \text{ %}$  von Rautlösung ( $\frac{100}{63,9}$ )  
bezogen auf die gesuchte  $57,3 \text{ %}$  ( $\text{mkg in } \frac{100}{52}$ )

Es zeigt sich, dass  $\text{KClO}_3$  mehr verbraucht, als  $\text{Ag}-\text{carab}$ .

wie viel braucht und ob es ein sehr groß Rollen spielt

würde die folgenden Proben  $24^\circ$  lang am Rand des Zuges bleibend.

Bei diesem Versuch wurde die Katalyse mit  $2 \text{ cm}^3 \text{ CuSO}_4$  ( $\alpha = 0,2$ ) vorgenommen.

In diese wollete sich  $10 \text{ cm}^3$  Wasser einsetzen.

Wasser zuletzt verbraucht.

I. Durch  $1 \text{ cm}^3$  Wasser ( $= 0,075 \text{ g}$ )

$2 \text{ cm}^3$  CuSO<sub>4</sub> ( $\alpha = 0,2$ )

$20 \text{ cm}^3$  H<sub>2</sub>O<sub>2</sub> ( $\alpha = 0,92$ )

Volumen  $2^3$

Es werden noch  $10 \text{ cm}^3$  H<sub>2</sub>O<sub>2</sub> ( $\alpha = 0,92$ ) verbraucht, um  $40 \text{ g}$  zu erhalten.  $\alpha = 0,92$  und  $40 \text{ g}$  sind gleich.

(Sulphat und Wasser)

Abbildung auf  $150 \text{ cm}^3$

$100 \text{ cm}^3$  verbraucht  $15 \text{ cm}^3$   $40 \text{ g}$  ( $\alpha = 0,999$ )

$$10,25, 15,0, 0,999 = 37,1 \text{ cm}^3 \text{ H}_2\text{O}_2 (\alpha = 0,9)$$

Verbraucht:

$$\frac{37,1}{2,8} \text{ cm}^3 \text{ H}_2\text{O}_2 (\alpha = 0,9) \text{ Wasser verbraucht}$$

Es werden dann noch min  $4,54 \%$  des Alters verbraucht. ( $\frac{47,100}{63,9}$ )

$$4,54 \cdot \frac{63,9}{52} = 37,37 = 14,2 \%$$

### F. Versuch.

$1 \text{ cm}^3$  Wasser wurde mit  $40 \text{ cm}^3$  Wasser (reinig.  $\alpha = 0,9$ ) vermischt. Wasser hinzugefügt wird als Katalysator und  $4^3$  ein Rest für weiteren Versuch.

Ergebnis 10780

Kunifung wird:

Ob 4. Kufe ist in  $4_1^o$  nicht mehr bei  
Kunifung (G' konstant geblieben)

	$\frac{36,4048}{45,1202}$	$20^o$
	$\underline{0,7154}$	
Wdg.: $9,9770^o$	$4_1^o$ ( $5^o$ )	

$$\text{dann} \quad \frac{0,7154}{9,9770} = \underline{\underline{0,0735}} \text{ bei } 20^o.$$

Kunifung verändert:

1.  $1 \text{ cm}^3$  Kufen würde sich  $10 \text{ cm}^3$  Na cestaltung ( $10\%$ )  $2^{\circ}$  am Randfläche halbe Platte  
verändert wobei das in  $4_1^o$  nicht sichtbare Teil im Schilderstücke von der  
vorigen Schritte abgenommen ist. Dies würde resultieren auf G' sinken mögl.

Bei den Kunifung wird Na C' verändert

$$1,0 \frac{\cancel{NaC} + 40,0 \text{ cm}^2}{\cancel{NaC} + 40,0 \text{ cm}^2} \cdot 4_1^o + 0,0 \text{ cm}^2 \cdot 4_1^o$$

$$NaC + 40,0 \text{ cm}^2 \cdot 4_1^o + 0,0 \text{ cm}^2 \cdot 4_1^o = \underline{\underline{40,0 \text{ cm}^2}}$$

10781

die Menge Na C' gibt eine Modell für die Kunifung grad.

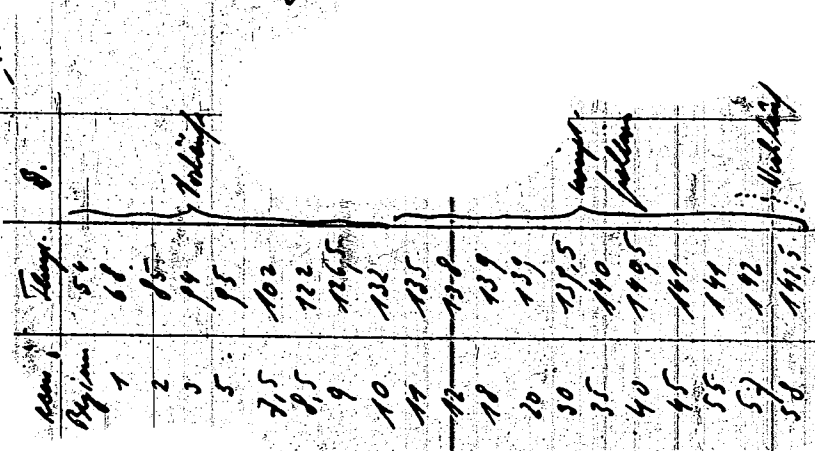
$$1 \text{ cm}^3 \text{ Kufen} = 0,0735^o \text{ liefern } 0,374^o \text{ g NaC theoretisch (\text{entg. } 26 \text{ To C})}$$

$$(1 \text{ g Kufen } 0,0735^o \dots 0,26^o \text{ u. } \dots 0,43^o \text{ NaC})$$

Bei einer 10% Kunifung müssten demnach  $63,9 \text{ cm}^3$   $\text{kg Na}_2\text{O}_3$  ( $= 0,1$ ) verbraucht werden.

$$(1 \text{ cm}^3 \text{ kg Na}_2\text{O}_3 (n=0,1) \text{ entspricht } 0,00565 \text{ g NaC})$$

Fraktionierung



10782

Die Kupfraffinerie nimmt ein Co. jährlich  
et. qual. (Cu-dross) 1. Produktiv  
t. / quart. 8,64%

$\text{O}_{2}$ -Zelle (nach Rosemeyer) 0,84 eng. ein J. dss. 134

die aktuel. Preis Menge erhalten

am der Kupfraffinerie und dann aus  
mit 30% sein Ladung erhalten

5. Ferdinand Wessisch

200 cm Höhe werden bei kleinen Sträuchern (50.) u. W. mitunter Temp. und Rhythmus fehlende.

Aufgrundlage: 186 mm (- 93 %).

Wohl dem Menschen mit Weisheit, Tatkraft und Laune

*Aug. ein Polypodiace-*  
*um (<sup>15</sup> = 53 Vor 2))*

10783

*Entschl. des Vorstandes*

To generate the ~~key~~<sup>public</sup> ~~private~~<sup>key</sup> pair, run the command:

104 cm long portion

Der Verlust wird auf 1/2 der gesamten Verteilung vermindert.

6 Valpo  
Humboldt

10784

(1)
1
2
3
4
5
6
7
8
9
10
11
12
13
14
15
16
17
18
19
20
21
22
23
24
25
26
27
28
29
30
31
32
33
34
35
36
37
38
39
40
41
42
43
44
45
46
47
48
49
50
51
52
53
54
55
56
57
58
59
60
61
62
63
64
65
66
67
68
69
70
71
72
73
74
75
76
77
78
79
80
81
82
83
84
85
86
87
88
89
90
91
92
93
94
95
96
97
98
99
100

10785

Nach dem Verdampfen von 164 cm<sup>3</sup> Polystyrol vorhanden (= 92% Vol)  
 dieses Produkt wurde in die gleichen Kästen wie bei Formel 3 behandelt  
 ferner fällt 145 mmol/g/cm<sup>3</sup> Sichtbar an (= 72 Vol-%)  
 [d. sind in beiden Fällen geringe Mindeste, als bei 3].

26 cm<sup>3</sup> Kugelfüllung (vermengt in c. 10 cm<sup>3</sup> Molalig. 146°)

Car	Temp.	Alt.
Byf	42	15
2	44	15
4	49	15
6	51	15
8	51	15
10	50	15
12	51	15
14	52	15
16	54	15
18	57	15
20	62	15
22	71	15
24	79	15
26	81	15
28	82	15
30	92	15
32	94	15
34	95	15
36	95	15
38	95	15
40	95	15
42	96	15
44	96	15
46	96	15
48	96	15
50	96	15
52	96	15
54	96	15
56	96	15
58	96	15
60	96	15
62	96	15
64	96	15
66	96	15
68	96	15
70	96	15
72	96	15
74	96	15
76	96	15
78	96	15
80	96	15
82	96	15
84	96	15
86	96	15
88	96	15
90	96	15
92	96	15
94	96	15
96	96	15
98	96	15

Fließende Höhe 119 ± 140° abgeschlossene Färbung ( $\approx 25 \text{ cm}^3 = 12,5 \text{ Vol. \% d. Kiesgesamt}$ )

würden / erwartet.

Die Färbung war im ganzen als ein halbes Kilometer, ob in mehrere Abschnitte unterteilt.  
nicht. (voll auf der 2. Stufe (Terry))

### 5. Bodenschichten:

Was an Übergrauwasserprojektilen wurden und 10% F.O. nachst.

Im Segments 3 wurde gleich im Anfang des Canals eingefüllt (50 Min.)  
in einem Zeitraum von 10 Minuten.

Endlos ol. Spülung

10786

Zeit:	Reihenfolge:	Wert
0	-	50
15'	39	54
20'	65	64
45'	45	72
75'	52	92
30'	55	98
45'	51	99
25'	59	105
30'	66	
35'	70	
40'	74	122
45'	77	122
50'	81	130
55'	89	
60'	93	134
65'	96	133
70'	100	141
75'	103	141
80'	105	145
85'	104	146
90'	105	149
95'	105	136
100'	105	136
105'	104	123
110'	104	118
115'	100	116
120'	100	116
125'	98	116
130'	99	116
135'	99	116
140'	98	116
145'	99	116
150'	99	116
155'	99	116
160'	99	116
165'	99	116
170'	99	116
175'	99	116
180'	99	116
185'	99	116
190'	99	116
195'	99	116
200'	99	116

Year	Month	Temp.	Rain.	Wind
1911	Jan	101	144	45
1911	Feb	102	120	45
1911	Mar	106	130	45
1911	Apr	100	129	42
1911	May	97	127	45
1911	June	97	123	45
1911	July	98	123	45
1911	Aug	100	125	45
1911	Sept	96	123	45
1911	Oct	99	123	45

10787

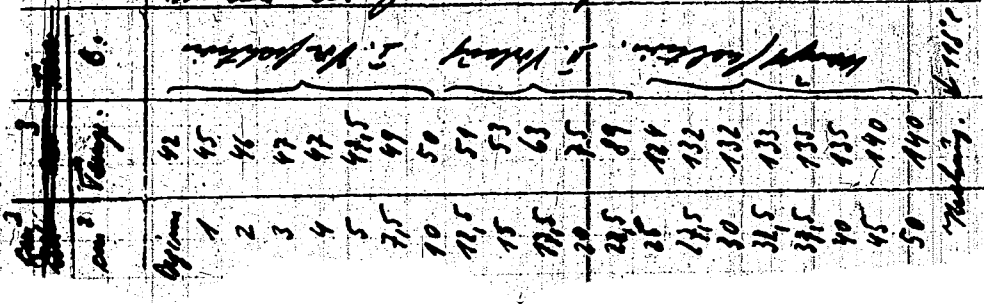
Had been paid until over 770 Krone (= 85 % Val), whence:

Sie wurde zuletzt mit 100 gaben in den Kasten gestellt.

106 cm<sup>2</sup> gehörzte Parallele. (= 53,14% bzw. auf 100% ausged.)

ten der K.B. ein solches wird sonst nicht an Rand und Mitte stehen  
als dann fälschlich.

## Wirkung des polkameriz



## 3. Hochdruckwärme

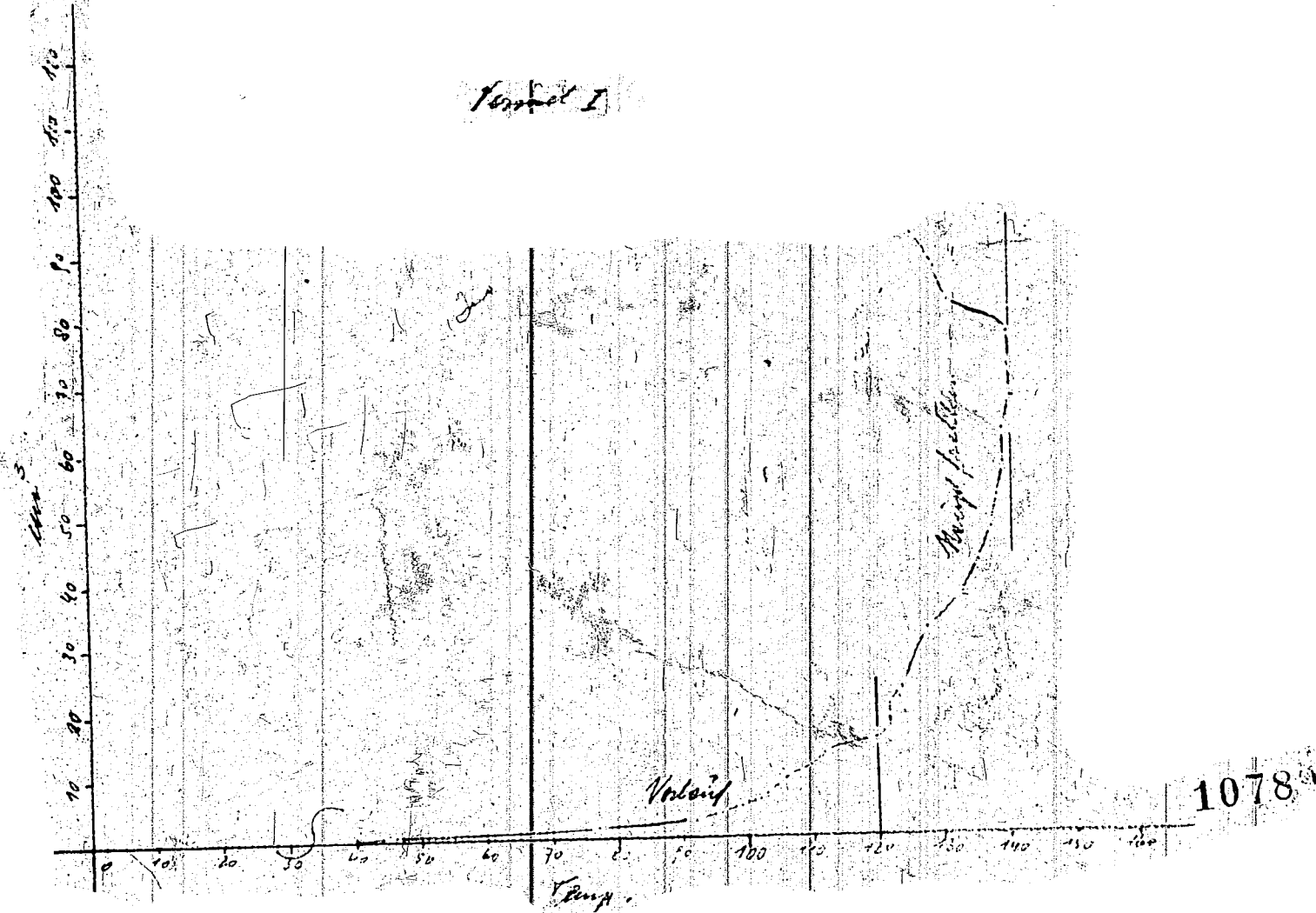
200 m: Klimatzg progr. werden mit 10° C. f. u. versch.  
in Antikl. sind auf die Temp. auf 10° gebracht. In dann 1000 Kilometer  
höher eindringen. Da Klima wird gleich zu Prog. auf 50 Km. gesunken.

Klimazgschicht der Spitzbergen:

10788

Zelt	Therm. Ztg.	Wärmezg. Ztg.	Wind	Windricht.
0'	24	24	0	0
10'	24	24	0	0
20'	28	22	0	0
30'	29	15	0	0
40'	29	15	0	0
50'	26	15	0	0
52'	32	19	0	0
55'	35	22	0	0
58'	41	24	0	0
60'	41	24	0	0
62'	39	24	0	0
65'	37	24	0	0
68'	35	24	0	0
70'	33	24	0	0
72'	31	24	0	0
75'	29	24	0	0
78'	27	24	0	0
80'	25	24	0	0
82'	23	24	0	0
85'	20	24	0	0
88'	18	24	0	0
90'	16	24	0	0
92'	14	24	0	0
95'	12	24	0	0
98'	10	24	0	0
100'	8	24	0	0
102'	6	24	0	0
105'	4	24	0	0
108'	2	24	0	0
110'	0	24	0	0

Fernand I



Die Fällungen werden gemacht aufzubereiten, oder Rauchfällen einzustellen  
und  $\text{Co}_2$  zugeschüttet.

38 cm Vorlage u. 53 Rauchfällen

Vorlage: 118 cm.

Mischhöhe: 95% bezogen auf die Vorlage.

Die Vorlage wird an den Rehpudel so hinzugefügt dass über vermischtes und unter-  
geschichtet hinreichen und  $6.0$  in unbedecktem Zustand mit  $\text{Co}_2$  gesprenkelt.  
Zusammen Polypodium system 111 cm Vorlage

10790

Feststellung des Reibgeschicktes

7.11.42. 5

die feststellung wird über 2 und 3 und 4 und 5.

Vorwärts wird im Rahmen einfache und Rauhig ausgeübt.

Geschickte

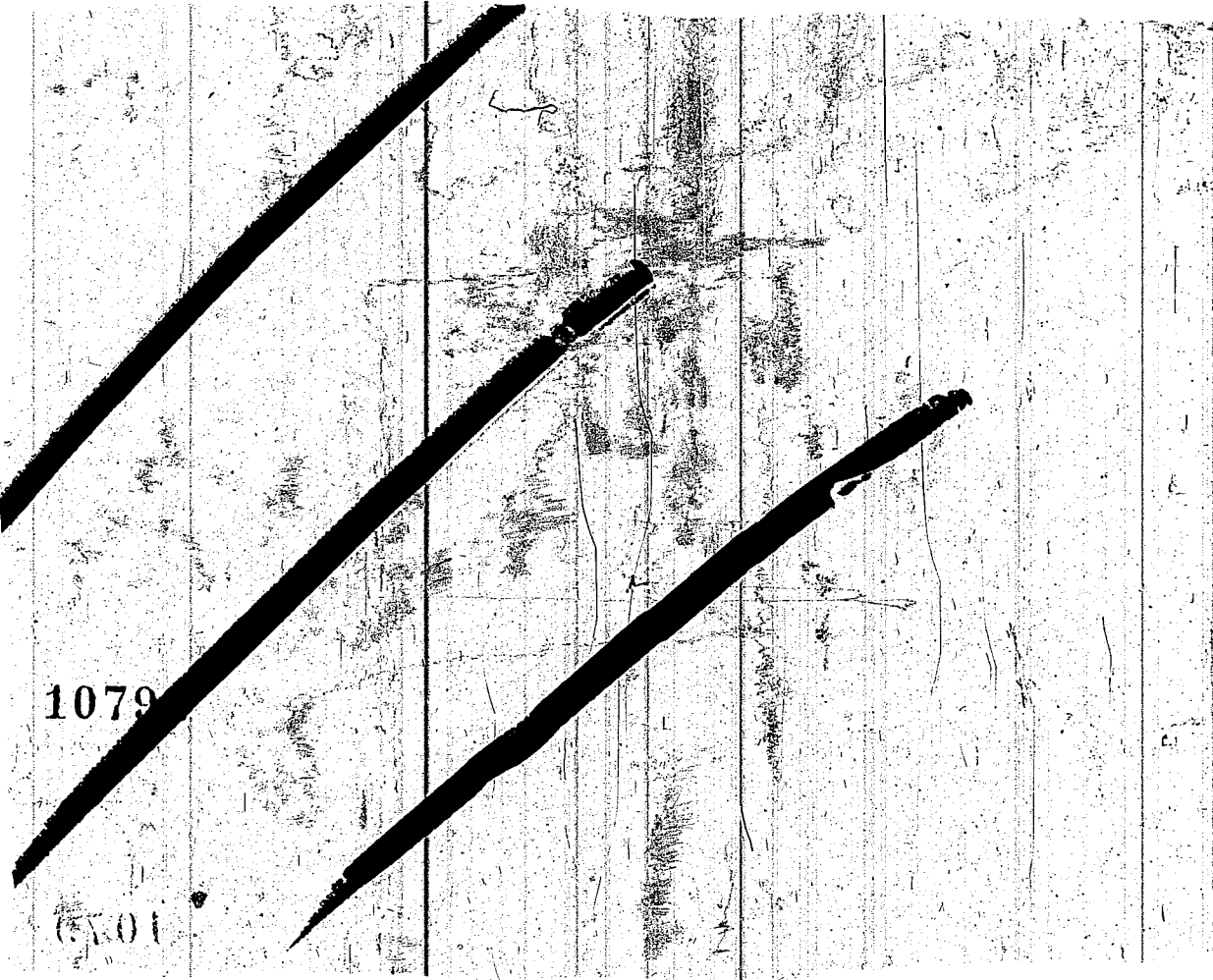
Vorlauf

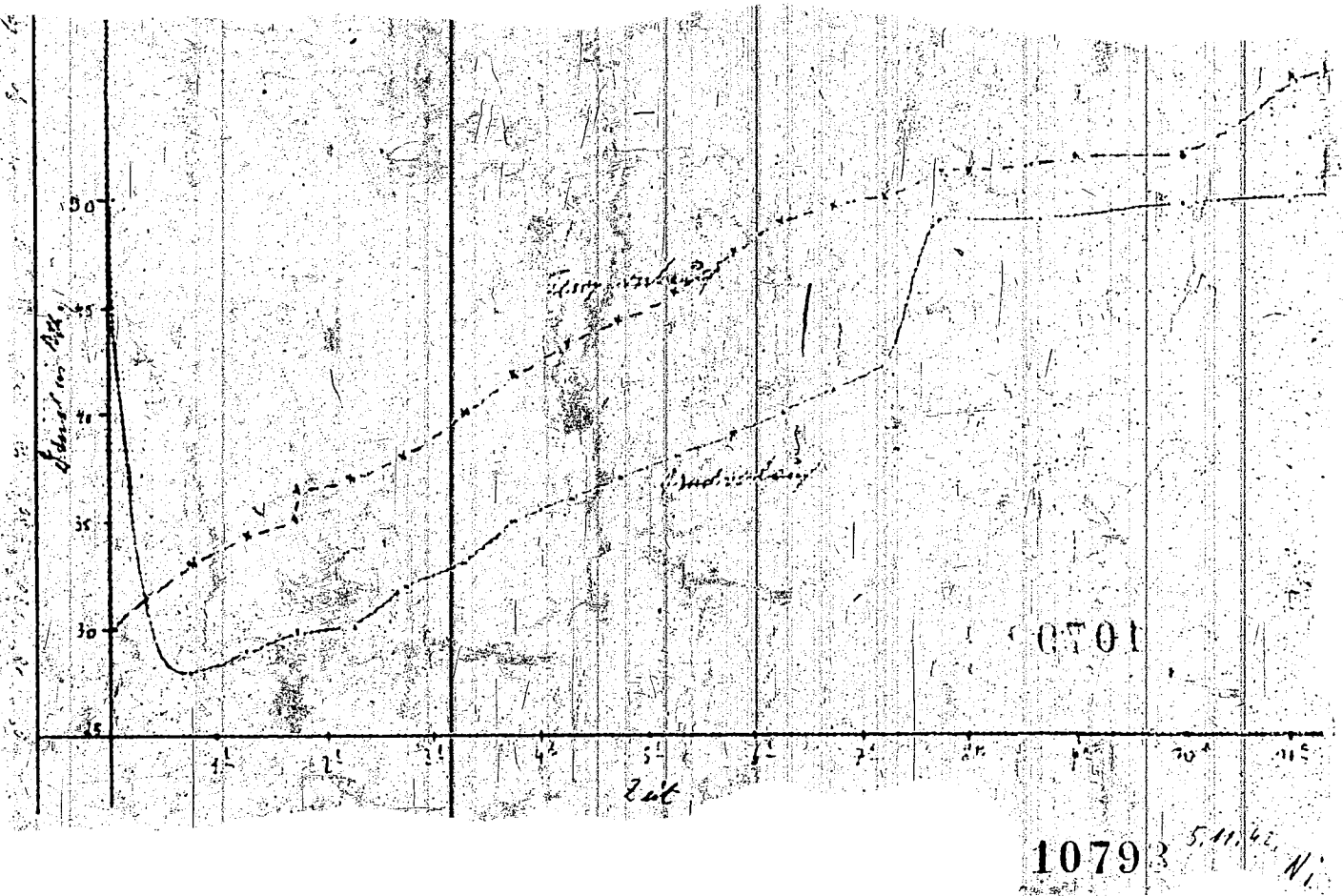
Zeit

Tempo

mm

</





Bei diesem Volumen nimmt

seine Volumen - - - bei Groll'schen Projektion  
der Verdampfung von 100 nicht gleich 100, sondern größer.

Fiktionsvolumen für 100 Verdampfung 9 der Abgr. = 1,0

7,8 cm<sup>3</sup> 100 (a 1,0)

Nennend Verdampfung 2 ab 437

Bei der projektilchen Verdampfung ergibt sich  
ein Schall von 74,5 °P. Uropon - - - propen - Ether

Das ausgespielt von 115 g feste Wachs 245 g leichter Lipide müssen.  
(Die Volumenzahlen sind rund 45 cm<sup>3</sup> betragen)

10794

5. 11. 42.

wicht Rubin

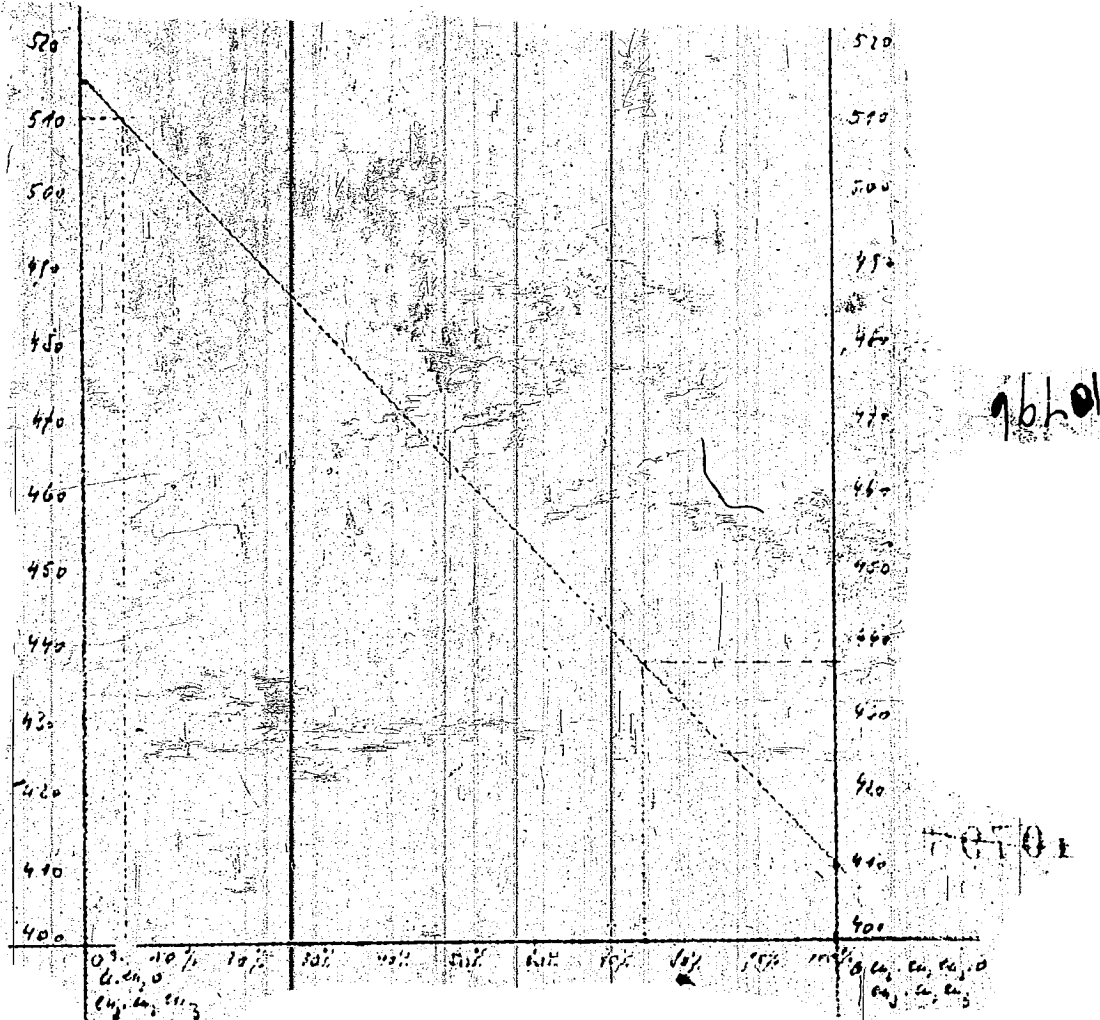
 $\text{Cu}_1 \cdot 0 \cdot \text{Cu}_2 \cdot \text{Cu}_3$  $\text{Cu}_1 \cdot \text{Cu}_2$  $\rightarrow \text{Cu} \cdot \text{Cu}_1 \cdot \text{Cu}_2 \cdot \text{Cu}_3 \cdot 0 \cdot \text{Cu}_1 \cdot \text{Cu}_2 \cdot \text{Cu}_3$ 

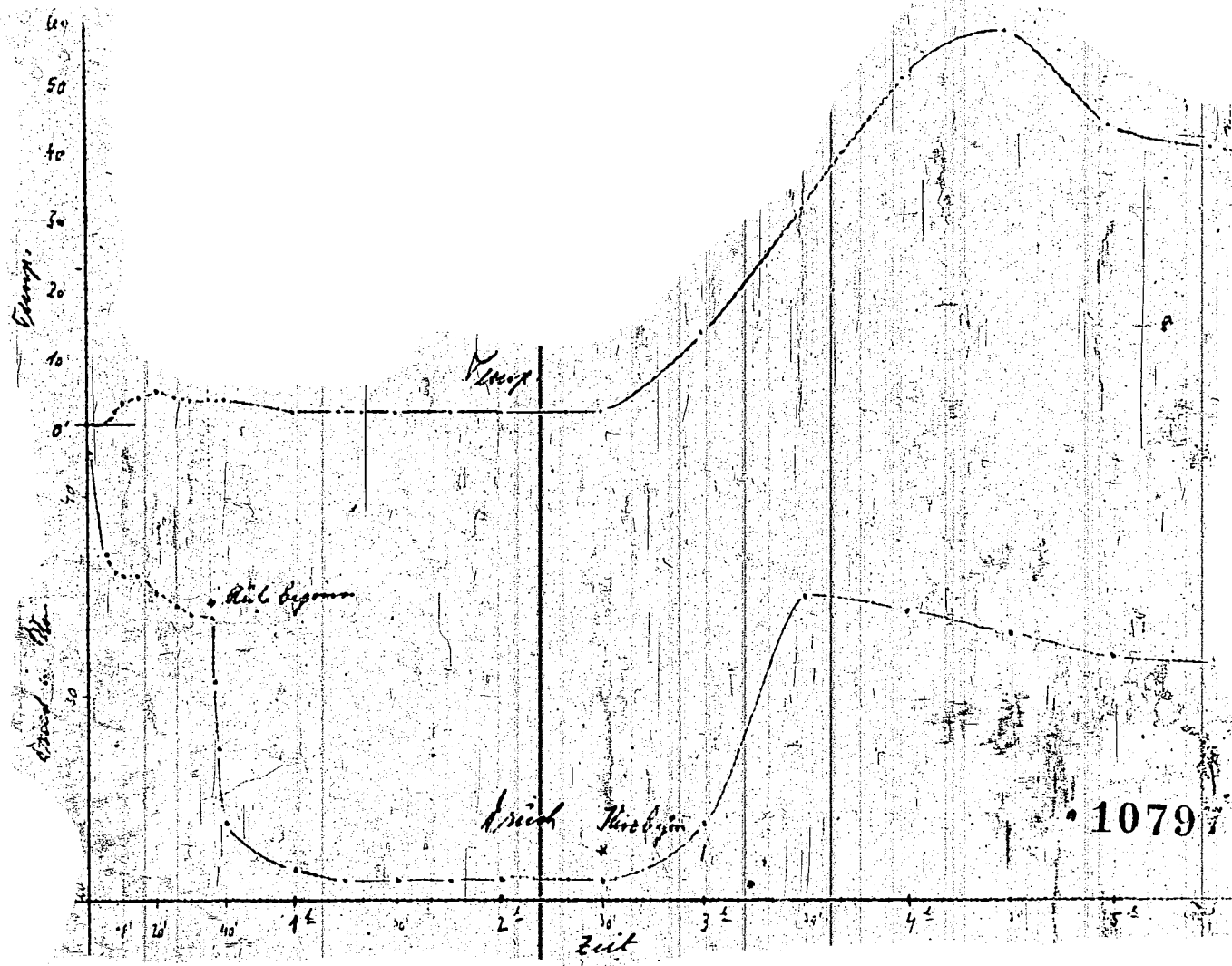
## 2. Goldring varist.

100 cm. Abstand prozessiert ( $\sim 195^{\circ}\text{C}$ ) werden und  $100^{\circ}\text{C} / \text{hr}$ . verschoben.  
 bei  $15^{\circ}$  werden alle Ringe verschwommen auf  $270^{\circ}\text{C}$ . erhalten in unter Rubin  
 liegen eingetragen. Die Werte werden gegen Ende auf 50 Körn. erhöht.  
 Anfang sind 50 Körn., Werte  $10^{\circ}$ .

Zeit	Temperatur	Abstand	Wert
0	15	50	
15'	24	28	
30'	28	29	
45'	35	30	
60'	36	30	
75'	39	32	
90'	45	33	
105'	51	35	
120'	55	36	
135'	58	37	
150'	62	38	
165'	68	39	
180'	72	40	
195'	74	41	
210'	75	42	
225'	79	44	
240'	81	49	
255'	81	49	
270'	91	50	
285'	93	50	
300'	93	50	

10795





Thema zurück

von 205 cm auf 200 cm ( $3\text{ mm}$ ).

Große Kurve von 305 g auf 203 g ( $15\text{ g}$ )

Alle Verschüttungen fingen kurz nach unten.

Das Endprodukt war höchstens gefüllt mit Lichtflüssig.

S der Radikalabilität 9,0

Titration entnahm 9,11 cm<sup>3</sup> Wasser ( $4-1,0$ ) für 1 cm<sup>3</sup> HCl  
liefert sich ein 9,5. von 510

Mer. Häufigkeit ist:  
des A. Cu<sub>2</sub>, Cu<sub>2</sub>On<sub>2</sub>, O. Cu<sub>2</sub>, Cu<sub>2</sub>, Cu<sub>3</sub> ↑ 515  
" " des A. Cu<sub>2</sub>, O. Cu<sub>2</sub> On<sub>2</sub>, Cu<sub>3</sub> ↓ 410

man sieht aus der graph. Interpolation im Schatz von 5,5% Füllstand ergibt

Kennard hat inzwischen keine Kenntnis mehr gefunden.

10793

Reaktion

 $\text{C}_2\text{H}_4 \cdot \text{O} \cdot \text{CO}_2 \cdot \text{CO}_3 \cdot \text{CO}_3$  $\rightarrow \text{C}_2\text{H}_4 \cdot \text{CO}_2 \cdot \text{CO}_3 \cdot \text{CO}_3 \cdot \text{CO}_3$ 

T. Hochdruckkernsch.

3. 9. 42. 1

200 cm Überzugsgeschwindigkeit ( $\sim 195^{\circ}\text{C}$ ), werden mit 100% Toluol vermischt.  
Bei  $15^{\circ}$  reagieren sie schon in 10 min zu einem zähflüssigen Öl (ca.  $76^{\circ}\text{C}$ ) - leicht.

Ausbeute durch 42,0 l. Röhre:

Zeit	Mittel	St. Zeit		Eig.					
		0'	5'	10'	15'	20'	25'	30'	35'
0'		- 42,0	- 42,0	- 42,0	- 42,0	- 42,0	- 42,0	- 42,0	- 42,0
5'		37,0	- 40,0	- 40,0	- 40,0	- 40,0	- 40,0	- 40,0	- 40,0
10'		36,5	- 0,91	- 0,91	- 0,91	- 0,91	- 0,91	- 0,91	- 0,91
15'		36,3	+ 0,05	- 0,90	- 0,90	- 0,90	- 0,90	- 0,90	- 0,90
20'		36,0	- 0,90	- 0,90	- 0,90	- 0,90	- 0,90	- 0,90	- 0,90
25'		34,6	- 0,72	- 0,72	- 0,72	- 0,72	- 0,72	- 0,72	- 0,72
30'		34,4	- 0,72	- 0,72	- 0,72	- 0,72	- 0,72	- 0,72	- 0,72
35'		34,1	- 0,72	- 0,72	- 0,72	- 0,72	- 0,72	- 0,72	- 0,72
40'		34,0	- 0,72	- 0,72	- 0,72	- 0,72	- 0,72	- 0,72	- 0,72
0'									
5'									
10'									
15'									
20'									
25'									
30'									
35'									
40'									

Bildung

Zersetzung

Zersetzung

10790

L.Y.T

= Gut Kitten

1)  $\text{Cu}_2 \cdot \text{Cu} \cdot \text{Cu}_2 \cdot \text{O} \cdot \text{C}_2\text{H}_5$  - B.I. 638 (150) S.P. 625 (69) 66-69 (150-151)

2)  $\text{Cu}_2 \cdot \text{Cu} \cdot \text{Cu}_2 \cdot \text{O} \cdot \text{C}_2\text{H}_5$  - 357 - M 158 S.P. 149-148 (150-151)

3)  $\text{Cu}_2(\text{m}) \cdot \text{Cu}_2 \cdot \text{Cu}_2 \cdot \text{O} \cdot \text{C}_2\text{H}_5$  - M 2 476 (150) S.P. 160-161

4)  $\text{Cu}_2 \cdot \text{Cu} \cdot \text{Cu} \cdot \text{Cu}_2 \cdot \text{O} \cdot \text{C}_2\text{H}_5$  - M 2 357 S.P. 193-195

5)  $\text{Cu}_2 \cdot \text{Cu} \cdot \text{Cu}_2 \cdot \text{O} \cdot \text{C}_2\text{H}_5$  - M 2 - 357 S.P.

6)  $\text{Cu}_3 \cdot \text{Cu}_1 \cdot \text{Cu}(\text{m}) \cdot \text{O} \cdot \text{C}_2\text{H}_5$  - M 2 - 357 S.P. 10800  
Hoff - [a-han-papp]-itter falling dried 60%  $\text{Cu}_2 \cdot \text{Cu} \cdot \text{Cu}_2 \cdot \text{O} \cdot \text{C}_2\text{H}_5$

7)  $\text{Cu}_2 \cdot \text{Cu} \cdot \text{Cu}_2 \cdot \text{O} \cdot \text{C}_2\text{H}_5$  - I 31201 S.P. 70-71

8)  $\text{Cu}_2 \cdot \text{Cu}_1 \cdot \text{Cu}_2 \cdot \text{O} \cdot \text{C}_2\text{H}_5$  - I 110 S.P. 165

9)  $\text{Cu}_3 \cdot \text{Cu}(\text{m}) \cdot \text{Cu}_2 \cdot \text{O} \cdot \text{C}_2\text{H}_5$  - I 109 S.P. 142

Lit. cycls J.P.

1)  $\text{CH}_2\text{-isopropylidene}$

$\text{C}_2\text{H}_5\text{O} \text{---} \text{CH}=\text{CH}_2$

2)  $\text{CH}_2\text{-isopropylidene}$

$\text{CH}_3\text{O} \text{---} \text{CH}=\text{CH}_2$

3)  $\text{CH}_2\text{-isobutylidene}$

$\text{C}_2\text{H}_5\text{O} \text{---} \text{CH}=\text{C}_2\text{H}_5$

4)  $\text{CH}_2\text{-isobutylidene}$

$\text{CH}_3\text{O} \text{---} \text{CH}=\text{C}_2\text{H}_5$

5)  $\text{C}_2\text{H}_5\text{-isopropylidene}$

$\text{CH}_3\text{---CH}_2\text{O} \text{---} \text{CH}=\text{CH}_2$

as syntheses:

10801